

رفع مناعة AES ضد الهجمات الجبرية باستخدام جداول التبديل المعتمدة على المفتاح ودراسة تأثير هذه الجداول في مناعة AES ضد الهجمات التقليدية

عائدة خالد الجنادي⁽¹⁾ و أنس التارة⁽²⁾ و جبران جبران⁽¹⁾

⁽¹⁾ قسم الرياضيات - كلية العلوم - جامعة دمشق - سورية.

⁽²⁾ قسم الذكاء الصناعي - كلية الهندسة المعلوماتية - جامعة دمشق - سورية.

تاريخ الإيداع 2006/03/05

قبل للنشر في 2007/02/04

الملخص

بنيت خوارزميات التعمية الحديثة بالاعتماد على الفرضية الآتية: «تعتمد الطرائق التقليدية في تحليل المعميات (التحليل الخطي، التحليل التفاضلي،....) على خصائص احتمالية تجعل أمن المعمي يزداد بشكل أسي مع عدد دورات المعمي». لذلك فهذه المعميات ليس لها المناعة المطلوبة ضد الهجمات الجبرية التي أصبحت أقوى بعد تطوير خوارزمية XSL. في هذا البحث سوف نقدم بعض الطرائق لرفع مناعة المعمي AES ضد الهجمات الجبرية ثم سندرس تأثير هذا التعديل في مناعة المعمي.

الكلمات المفتاحية: AES، Rijndael، جداول التبديل الديناميكية، الهجمات الجبرية، خوارزمية XSL.

Increasing the immunity of AES against the algebraic attacks by using the dynamic key dependent S-Boxes and studying its effect on AES immunity against the classic attacks

Aeda Janadi⁽¹⁾, Anas Tarah⁽²⁾ and Jobran Jobran⁽¹⁾

⁽¹⁾ Department of Mathematics, Faculty of Sciences, Damascus University, Syria.

⁽²⁾ Department of Artificial intelligence, Faculty of information Engineering, Damascus University, Syria.

Received 05/03/2006
Accepted 04/02/2007

ABSTRACT

The security of several recently proposed ciphers relies on the fact:" that the classical methods of cryptanalysis (e.g. linear or differential attacks) are based on probabilistic characteristics, which makes their security grow exponentially with the number of rounds".

So they haven't the suitable immunity against the algebraic attacks which becomes more powerful after XSL algorithm. in this research we will try some method to increase the immunity of AES algorithm against the algebraic attacks then we will study the effect of this adjustment.

Key words: AES, Rijndael, Dynamic substitution, Algebraic attacks, XSL algorithm.

المقدمة

أدى التطور المستمر في تقنيات جمع المعلومات وتخزينها واستعادتها وتحليلها وتبادلها وظهور شبكة الإنترنت إلى تزايد عمليات التشارك في المعلومات بين شركاء العمل على مستويين داخل النظام الواحد أو بين نظم متعددة.

وقد أدى تزايد الاعتماد على الحاسوب في التعامل مع المعلومات إلى التركيز على مدى أمن تقنيات الشبكات التي تتعامل مع هذه المعلومات.

في هذا السياق ظهر العديد من خوارزميات التعمية التي تستخدم لتحويل البيانات من الشكل المقروء إلى الشكل المعمي غير المقروء.

ولعل الخوارزمية الأحدث في هذا المجال هي خوارزمية AES (Rijndael) الفائزة في مسابقة المعايير الحديثة للتعمية التي طرحها المعهد الوطني للمعايير والتقنية NIST.

إذ عُدت الخوارزمية الأقوى إلى أن ظهرت خوارزمية XSL (7) التي جعلت حل جملة المعادلات الجبرية الموصفة لنظام التعمية في AES ممكناً.

في البحث الحالي نقدم تعريفاً عاماً بالهجمات الجبرية ومناعة المعميات ضد هذه الهجمات وبشكل خاص خوارزمية AES التي سنعرض مكوناتها بشيء من التفصيل ونطبق تعديلاً على جدول التبديل الخاص بها بهدف زيادة مناعتها ضد الهجمات الجبرية. مع المحافظة على مناعتها ضد الهجمات الكلاسيكية (التحليل الخطي، التحليل التفاضلي،....) وفي النهاية نعرض بعض نتائج الاختبارات التي أجريناها على الخوارزمية بعد التعديل لنقيّم تأثير التعديل في مناعة الخوارزمية ضد الهجمات التقليدية.

1. الهجمات الجبرية:

مقدمة: بنيت المعميات المقدمة مؤخراً من دوال مزج واستبدال تعتمد على جداول تبديل صغيرة S-Boxes. وعمل المصممون على تكرار تطبيق هذه الخطوات بالاعتماد على مفاتيح مرحلية يتم توليدها من مفتاح التعمية الأساسي. وتعتمد سربيتها على الحقيقة الآتية: تعتمد الطرائق التقليدية في تحليل المعميات (التحليل الخطي، التحليل التفاضلي،....) على خصائص احتمالية تجعل أمن المعمي يزداد بشكل أسّي مع عدد دورات المعمي (عدد مرات تكرار دوال المعمي).

لكن في عام 2002 قدم Courtois and Pieprzyk في [5] دراسة لأمن لهذه المعميات وفق فرضية إضافية: «يمكن توصيف جدول التبديل بشكل كامل بجملة معادلات جبرية وبحيث إن جملة المعادلات هذه صحيحة باحتمال يساوي الواحد». وقدموا خوارزمية أسماها XSL (7) تستخدم لاستنتاج جملة المعادلات الموصفة للمعمي وحلها.

1.2. تعريف:

هي هجمات يكسر فيها نظام التعمية بواسطة حل جملة المعادلات التي تصف نظام التعمية في حقل منته (مثال $GF(2)$).

وقد طبق مصمماً خوارزمية XSL خوارزمتيها على جدول تبديل Rijndael فاستخلصا 23 معادلة من الدرجة الثانية وبإجمالي 81 تعبيراً مختلفاً واطهرا أن هذه المعادلات مستقلة خطياً. وسنعرض فيما يأتي خوارزمية XSL.

1.3 معميات XSL: هي بالتعريف تركيب لـ N_r مرحلة متماثلة. بالشكل الآتي:

X: المرحلة الأولى $I=1$ تبدأ بعملية XOR مع المفتاح K_{i-1} .

S: ثم نطبق B جدول تبديل على التوازي كل واحد على s بت.

L: ثم نطبق دالة دمج خطية.

X: ثم نطبق عملية XOR مع المفتاح K_i .

وفق هذا التعريف فإن Rijndael هي حالة خاصة من XSL-cipher حيث $s = 8, B = 4 * Nb$ و $Nb = 4, 6, 8$. وعندها:

X: المرحلة الأولى $i=1$ تبدأ بعملية XOR مع المفتاح K_{i-1} .

S: ثم نطبق $B = 4 * Nb$ جدول تبديل على التوازي كل واحد على 8 بت.

L: وهنا لدينا تبديل على مستوى البايت يدعى ShiftRow، يتبع بدالة خطية تدعى MixColumn تطبق على التوازي لأجل كل عمود من الـ $Nb = 4, 6, 8$ عمود.

X: ثم نطبق عملية XOR مع المفتاح K_i .

1.4 جداول التبدل الممثلة بجملة معادلات معرفة أكثر أو جملة المعادلات خفيفة:

إن الجزء الوحيد غير الخطي من المعميات XSL-Ciphers هو جداول التبدل. لذلك ربما تكون الجزء الأكثر تعقيداً بالنسبة للهجمات الجبرية وفيما يأتي سندرس الخصائص العامة لجملة المعادلات الجبرية الممكن استخلاصها من جداول التبدل وتعريف ما يسمى بجملة المعادلات الأكثر تعريفاً أو جملة المعادلات الخفيفة.

ليكن $F : GF(2)^s \rightarrow GF(2)^s$ هو جدول التبدل حيث

$$F : x = (x_1, x_2, \dots, x_s) \mathbf{a} \ y = (y_1, y_2, \dots, y_s)$$

بنيت جداول التبدل في المعميات الجيدة بالاعتماد على دوال بوليائية جيدة. بحيث تتمتع هذه الدوال بعدد من الخصائص من أهمها أن كل y_i تمثل بكثير حدود ذي درجة عالية في x_i . لكن هذا لا يؤكد أنه لا توجد معادلات ضمنية متعددة المتحولات من الشكل $P(x_1, \dots, x_s, y_1, \dots, y_s)$ وهي من درجة جبرية منخفضة. مثل هذه المعادلات الضمنية هي الأداة المستخدمة في خوارزمية XSL بهدف كسر المعميات الكتلية.

إن ما يهمنا في هذا النوع من الهجمات لأجل درجة معينة للمعادلات d (عادة $d=2$) هو العدد الفعلي لهذه المعادلات r (المعادلات الضمنية).

وهذا العدد r يمكن أن يكون أكبر من s .

كما أننا نهتم بعدد الحدوديات (التعابير) التي تظهر في جملة المعادلات والتي يرمز لها بـ t ويشمل عددها الحدود الثابتة أيضاً. بشكل عام فإن:

$$t \approx \binom{s}{d}$$

إذا كان $t \ll \binom{s}{d}$ نقول: إن المعادلات خفيفة.

إذا كانت $r = s$ فإن هذه المعادلات كافية تقريباً لتمثيل جدول التبدل وعندها لأجل كل y سيوجد وسطياً حل واحد، وهكذا إذا كان $r \gg s$. سنقول: إن النظام معروف أكثر من اللازم.

1.5. الهجمة MQ على المعميات الكتلية:

لا حظنا سابقاً أنه يمكن تمثيل أي جدول تبديل في معمي كتلي بجملة معادلات جبرية ومن ثم يمكن كتابة المعمي كاملاً كجملة معادلات جبرية. فإذا كانت هذه الجملة تربيعية متعددة المتحولات Multivariate Quadratic ندعو هذا الهجوم بهجوم MQ. وعندها يصبح كسر المعمي عبارة عن مسألة حل جملة المعادلات الممثلة لهذه المعمي من هذه الطرائق خوارزمية XL وخوارزمية XSL.

1.6. المخطط العام لخوارزمية XSL:

يوجد العديد من الطرائق التي يمكن تطبيق هجوم جبري وفتحها، فجملة المعادلات يجب أن تكتب بشكل ما بحيث يوجد لها حل وحيد فقط. بالنسبة إلى خوارزمية XSL تعمل على ثلاث مراحل:

كتابة المعمي كجملة معادلات جيدة (أكثر تعريفاً، خفيفة أو كلاهما).

التوسيع إلى نظام أكثر تعريفاً بشكل كبير ليقترّب من حد الإشباع بحيث: $\frac{r}{t} \approx 1$.

الوصول إلى الإشباع الكامل أي $\frac{r}{t} = 1$.

حل جملة المعادلات الناتجة.

1.7. مناعة المعميات ضد الهجمات الجبرية:

يعتمد تعقيد الهجمات الجبرية في المعميات الكتلية بشكل كبير على إمكانية استخلاص أكبر عدد ممكن من المعادلات المستقلة خطياً من المعمي ويظهر في [6] أن مسألة تقييم هذه الإمكانية ليست بالمسألة البسيطة حتى لأجل جملة المعادلات الناتجة عن جدول تبدل بسيط في الحقل المنتهي. وحتى الآن لا يوجد توصيف دقيق لما يمكن أن ندعوه خصائص مناعية لجدول التبدل ضد الهجمات الجبرية. لكن بشكل عام فإن معظم الهجمات الجبرية تعتمد على **بساطة** العلاقات الجبرية التي تربط بتات المدخل والمخرج للمكونات اللاخطية (جدول التبدل) في المعميات كما أن الخصائص اللاخطية لجدول التبدل لا تزيد مناعة المعمي ضد الهجمات الجبرية [6].

وفي معرض دراسة Courtois في [6,7] لمعايير ضعف جداول التبدل أمام الهجوم الجبري يوضح أن البحث عن طرائق لزيادة مقاومة نظم التعمية ضد الهجمات الجبرية يأخذ منحنيين:

المنحى الأول: البحث عن دوال جبرية ذات خصائص لا خطية عالية توفر مقاومة للهجمات التقليدية (التحليل الخطي، التحليل التفاضلي،....) بالإضافة إلى تمتعها بخصائص إضافية (لم تحدد بعد) تمكنها من مقاومة الهجمات الجبرية.

المنحى الثاني: استخدام جداول التبدل العشوائية. وهذا المنحى هو مجال بحثنا.

2. خوارزمية AES:

خوارزمية AES [1,2] هي خوارزمية تعمية كتلية ذات طول نص ثابت هو 128 بتاً، وتدعم مفاتيح تعمية ذات أطوال 128، 192، 256 بت فقط. والأطوال الأخرى للكتلة أو المفتاح المتاحة في Rijndael غير متاحة في AES. وعلى الرغم مما سبق فغالباً ما يستخدم التعبيران AES و Rijndael بشكل متكافئ.

2.1. الدخل والخروج في Rijndael.

إن الدخل والخروج في Rijndael يفترض أن يكونا متجهتين وحيدتي البعد مؤلفتين من كلمات كل منها ذات 8 بت. الدخل هو كتلة النص الواضح plain text block ومفتاح التعمية key والخروج هو كتلة النص المعمي cipher text block. وفي مرحلة فك التعمية يصبح الدخل هو كتلة النص المعمي cipher text block ومفتاح التعمية key، والخروج هو كتلة النص الواضح plain text block. إن الخطوة في Rijndael تعمل على نتيجة مرحلية ندعوها الحالة state. يمكن تصوير الحالة بأنها مصفوفة مستطيلة من الكلمات، عدد أسطرها أربعة ويرمز لعدد الأعمدة بـ N_b وهو نتيجة قسمة طول كتلة

النص الواضح على 32. وبشكل مشابه ينظم المفتاح في مصفوفة مستطيلة ذات أسطر أربعة وعدد أعمدها N_k وهو مساوٍ إلى طول المفتاح مقسوماً على 32.

2.2. بنية Rijndael

Rijndael خوارزمية تعمية كتلية تكرارية تستخدم مفتاحاً. وتتألف من تطبيق متكرر لمجموعة معينة من الخطوات على الحالة. عدد الدورات يرمز له بـ N_r ويعتمد على طول الكتلة وطول المفتاح.

2.2.1. التعمية:

تتألف عملية التعمية في Rijndael من الخطوات الآتية:

إضافة مفتاح ابتدائي ويرمز لها بـ `AddRoundKey`.

مرحلة دورية تتكرر بعدد N_{r-1} مرة.

مرحلة نهائية `FinalRound`.

يرمز للمفتاح المستخدم في المرحلة الدورية i بـ `ExpandedKey[i]`. حيث `ExpandedKey[0]` يرمز إلى المفتاح الابتدائي المدخل. ويتم حساب مفاتيح التمديد `ExpandedKey[i]` من مفتاح التعمية `CipherKey` بعملية التمديد `KeyExpansion`. ومنه فالشكل العام للخوارزمية هو: `Rijndael (State, CipherKey)`

```
{
  KeyExpansion(CipherKey, ExpandedKey);
  AddRoundKey(State, ExpandedKey[0]);
  For(i=1; i < Nr; i++) Round (State, ExpandedKey[i]);
  FinalRund(State, ExpandedKey[ Nr ];
}
```

وسنعرض فيما يأتي الشكل العام للمرحلة الدورية بشيء من التفصيل يرمز لها بـ `round`. وهي سلسلة من أربع خطوات وتختلف المرحلة الأخيرة قليلاً عن باقي المراحل. كما سنرى أما خطوات المرحلة الدورية فهي:

```
Round(State , ExpandedKey[i])
{
  SubBytes(State);
  ShiftRows(State);
  MixColumns(State);
  AddRoundKey(State, ExpandedKey[i]);
}
```

}

وللمرحلة الأخيرة الشكل الآتي:

```
Round(State,ExpandedKey[  $N_r$  ])
{
SubBytes(State);
ShiftRows(State);
AddRoundKey(State,ExpandedKey[  $N_r$  ]);
```

2.2.2. فك التعمية:

المدخلات هنا هي النص المعمي ومفتاح التعمية أما المخرجات فهي النص الواضح. وتأخذ الخوارزمية AES في حالة فك التعمية الشكل الآتي:

```
Inv Rijndael (State,CipherKey)
{
AddRoundKey(state, ExpandedKey[  $N_r$  ])
for i =  $N_r-1$  step -1 downto 1 {
InvShiftRows(state);
InvSubBytes(state) ;
AddRoundKey(state, ExpandedKey[i]);
InvMixColumns(state) ;
}
InvShiftRows(state);
InvSubBytes(state);
AddRoundKey(state, ExpandedKey[0]);
}
```

نجد مما سبق أن الخوارزمية مبنية بشكل أساسي على مجموعة من الخطوات سنعرض كلاً منها باختصار مع عرض بسيط للخطوة العكسية المقابلة لها:

2.3. الخطوات المكونة للدورة:

2.3.1. خطوة SubBytes:

إن هذه الخطوة هي الخطوة الوحيدة غير الخطية في الخوارزمية. وتتم على كل كلمة من كلمات الحالة بشكل مستقل. هذه الخطوة هي عملية استبدال كل كلمة من الحالة بالاعتماد على جدول من الرموز يدعى بجدول التبديل S-box. والجدول الخاص بـ Rijndael يرمز له بـ S_{RD} .

وتدعى العملية المعاكسة لعملية SubBytes بـ InvSubBytes وتتم بتطبيق التبدل بالاعتماد على مقلوب جدول الاستبدال الأول والذي يرمز له بـ S_{RD}^{-1} .

2.3.2. خطوة ShiftRows:

هذه الخطوة هي تحويل على مستوى الكلمة يقوم دورياً بإزاحة أسطر الحالة بقيم مختلفة. أما العملية المعاكسة للعملية السابقة: وتدعى InvShiftRows فهي عملية إزاحة دورية على الأسطر الثلاثة الأخيرة بمقادير محددة.

2.3.3. خطوة MixColumns: وهي تحويل يجري على كل من أعمدة الحالة. حيث أعمدة الحالة تعامل كحدوديات على الحقل $GF(2^8)$ ويؤخذ جداولها كباقٍ للحدودية x^4+1 بحدودية ثابتة $c(x)$.

العملية المعاكسة لـ MixColumns يرمز لها بـ InvMixColumns وهي مشابهة لـ MixColumns حيث يحول كل عمود بضربه بحدودية ثابتة $d(x)$ هي مقلوب الحدودية $c(x)$.

2.3.4. الإضافة الدورية إلى المفتاح:

يرمز لهذه الخطوة بـ AddRoundKey(State, RoundKey). وهي عملية XOR تجرى بين بنات المفتاح الدوري وبنات الحالة. حيث يشتق المفتاح الدوري من مفتاح التعمية بطريقة تدعى ملحق المفتاح.

إن العدد الكلي لبنات المفاتيح الدورية يساوي إلى جداء طول النص الواضح (والتي تساوي إلى طول مفتاح التعمية) بعدد الدورات مضافاً إليها واحد. أما معاكس هذه الخطوة فهي الخطوة نفسها.

2.4. معايير تصميم جدول التبدل في Rijndael ومناعته ضد الهجمات الجبرية:

اختبرت الخطوات المكونة للخوارزمية بحيث تصل إلى القيم الحدية في معايير مناعتها ضد الهجمات التقليدية (التحليل الخطي، التحليل التفاضلي،.....). لكن هذا القول ليس صحيحاً فيما يتعلق بالهجمات الجبرية ويعود السبب في ذلك إلى أن هذا النوع من الهجمات لم يكن خطراً قبل تطوير خوارزمية XSL.

صنم S_{RD} بمراعاة المعايير الآتية:

2.4.1. اللاخطية: حيث يجب أن يتمتع S_{RD} بقدر جيد من اللاخطية. وقد استخدم مصمما الخوارزمية جدول تبديل وصل إلى القيمة الحدية في اللاخطية في الحقل $GF(2^8)$ بالاعتماد على دالة المقلوب المنفردة في خصائصها اللاخطية في الحقل $GF(2^8)$ فهي الدالة الوحيدة (حتى الآن) التي توصف بأنها 4-differentially

uniform لأجل قيمة زوجية لـ n في الحقل $GF(2^n)$ كما برهن على ذلك Kaisa Nyberg في [9]. وتعدُّ هذه الخاصة جوهر قوة المعمي ضد الهجمات التقليدية (التحليل الخطي، التحليل التفاضلي،....) لكن لسوء الحظ لا تؤثر هذه الخاصة في مناعة المعمي ضد الهجمات الجبرية [6].

2.4.2. التعقيد الجبري: يجب أن يكون التعبير المعرف لـ S_{RD} معقداً بشكل كاف. وفي خوارزمية Rijndael بُني جدول تبديل بالدالة المعرفة في الحقل $GF(2^8)$ بالشكل الآتي: الحقل $GF(2^8)$ و مقلوب العنصر 00 هو نفسه. وأما f فهي الدالة الأفينية القابلة للقلب المعرفة بالشكل الآتي:

$$b = f(a)$$

$$\begin{bmatrix} b_0 \\ b_1 \\ b_2 \\ b_3 \\ b_4 \\ b_5 \\ b_6 \\ b_7 \end{bmatrix} = \begin{bmatrix} 11111000 \\ 01111100 \\ 00111110 \\ 00011111 \\ 10001111 \\ 11000111 \\ 11100011 \\ 11110001 \end{bmatrix} \times \begin{bmatrix} a_0 \\ a_1 \\ a_2 \\ a_3 \\ a_4 \\ a_5 \\ a_6 \\ a_7 \end{bmatrix} \oplus \begin{bmatrix} 0 \\ 1 \\ 1 \\ 0 \\ 0 \\ 0 \\ 1 \\ 1 \end{bmatrix}$$

إن الدالة g توفر اللاخطية للتحويل S_{RD} في حين توفر الدالة الأفينية التعقيد الجبري المطلوب للتحويل S_{RD} . كما يضاف شرطان يجب أن تحققهما الخطوة S_{RD} وهما:

$$S_{RD}[a] \oplus a \neq 00, \forall a$$

$$S_{RD}[a] \oplus a \neq FF, \forall a$$

نلاحظ أن اختيار الدالة المكونة لجدول التبدل في Rijndael تم في إطار مقاومة المعمي للهجمات التقليدية لكن البساطة الجبرية لدالة المقلوب في الحقل $GF(2^8)$ تضعف مناعة المعمي ضد الهجمات الجبرية كما ذكر ذلك Courtois في [6,7].

3. جداول التبدل العشوائية (Random S-Boxes)

تتفق جداول التبدل العشوائية على هدف واحد وهو أن لا تحمل عملية استبدال معينة معلومات عن عملية الاستبدال التالية لها، أو بمعنى آخر أن يتم ترتيب كامل القيم في جدول التبدل و فوق آلية عشوائية، بشكل عام لا توجد معايير ثابتة لتوليد جداول تبديل عشوائية فهي تختلف باختلاف طريقة التصميم. وإحدى أهم هذه الطرائق وأكثرها شيوعاً

هي استخدام خوارزمية knuth لخلط كامل عناصر جدول التبدل عشوائياً بالاعتماد على المفتاح المرحلي كما في [8] وفي خوارزمية Khufu [10].

في هذه الطريقة يتم بناء جدول تبدل ابتدائي (فعالاً) هو جدول تبدل يقابل كل عنصر فيه نفسه) ثم يتم خلط كامل عناصر جدول التبدل بالاعتماد على قيم عشوائية يتم توليدها باستخدام مفاتيح التعمية المرحلية، وفق الخوارزمية الآتية:

```
for i = 1 to 256
sbox[i] := i; /* جدول التبدل الابتدائي */
for i = 1 to 256
j := RandomInRange (i, 256);
swap (sbox[i], sbox[j]);
end for
```

3.1. مناعة جداول التبدل العشوائية ضد الهجمات التقليدية (التحليل الخطي، التحليل التفاضلي،.....):

درست مناعة جداول التبدل العشوائية من قبل عدد من العلماء الذين أثبتوا القدرة المناعية الجيدة لهذه الجداول ضد الهجمات التقليدية [8]. ومع ذلك فهناك ما يمكن القول عنه تصرف غير نموذجي لجدول التبدل العشوائية فبينما تعدّ جداول التبدل العشوائية من أسباب قوة المعمي Twofish (حيث ثبت أن استخدام جداول تبدل ثابتة يضعف هذا المعمي) فإنها (أي جداول التبدل العشوائية) عامل ضعف إذا ما استخدمت في حالة المعمي DES [12]. وعليه فقد يكون لجدول التبدل الديناميكية تأثير سلبي في مناعة المعمي، وهذا ما سنختبره من خلال الاختبارات الإحصائية.

4. جداول التبدل الديناميكية

تتألف جداول التبدل الديناميكية [11] من جدول تبدل ثابت قابل للقلب وطريقة ما لتغيير ترتيب القيم داخل الجدول. حيث تخطط محتويات جدول التبدل باستخدام مولد أعداد عشوائية يعتمد على مفتاح التعمية. من الملاحظ أن طريقة بناء جدول التبدل الديناميكي لا تختلف كثيراً عن طريقة بناء جدول التبدل العشوائي وفق خوارزمية Knuth [10]. لكن الاختلاف الأساسي هو في أن جداول التبدل الديناميكية لا تشترط خلط كامل محتويات جدول التبدل بل بعض عناصر جدول التبدل.

5. جدول التبدل المقترح

5.1. معايير تصميم جدول التبدل المقترح:

إن أهداف التعديل الذي نجريه على جدول تبدل Rijndael هي:

- أ- رفع درجة مقاومة الخوارزمية للهجمات الجبرية من خلال استخدام جدول تبديل متغير بشكل عشوائي.
- ب- المحافظة على الخصائص القوية لجدول تبديل Rijndael المقاومة للهجمات التقليدية.

وفي إطار هذه الأهداف اخترنا مكونات جدول التبدل المقترح وفق النقاط الآتية:

– في اختيارنا لجدول التبدل الجديد لم نبتعد عن المكونات الأساسية لخوارزمية Rijndael بل على العكس حاولنا الإفادة من التركيب القوي جداً لجدول التبدل في Rijndael الذي وصل إلى القيمة الحدية في اللاخطية في الحقل $GF(2^8)$ وذلك للمحافظة على مقاومته العالية للهجمات التقليدية.

– اعتمدنا على فكرة جدول التبدل الديناميكي وهي قريبة من فكرة خوارزمية Knuth [22] التي تولد جدول تبديل عشوائياً لكن هناك فرق أساسي وهو أن خوارزمية Knuth في كل عملية خلط تجري عملية swap لكامل عناصر جدول التبدل مع قيم عشوائية في حين نحن في كل عملية خلط نقوم بعملية swap للعنصر (عنصر واحد فقط) الذي استخدمناه للتو مع قيمة أخرى نختارها عشوائياً من جدول التبدل. قد يقلل هذا الفارق من عشوائية جدول التبدل الذي بنينا، خصوصاً أننا نستخدم جدولاً معروفاً كجدول تبديل ابتدائي (جدول Rijndael الأصلي) لكننا نعتقد أنه كاف ليرفع مناعة جدول التبدل ضد الهجمات الجبرية. لأنه بشكله الحالي (كجدول تبديل ديناميكي) يكفي لتعقيد عملية استخلاص وحل جملة المعادلات الجبرية الممثلة للمعمي لسببين:

– أصبح لدينا N_{r-1} جدول تبديل لأجل كل بايت من النص المشفر أي $N_b * 4 * N_{r-1}$ جدول تبديل، بدلاً من جدول تبديل واحد ومن ثم ارتفع عدد المعادلات الجبرية الممثلة للمعمي.

– إن استخدام المولد العشوائي (في حالتنا دالة مزج وحيدة الاتجاه MD5) في توليد جدول التبدل زاد من تعقيد استنتاج المعادلات الجبرية لكل جدول من جداول التبدل.

5.2. الملامح الأساسية لجدول التبدل المقترح: يتم توليد جدول التبدل المقترح وفق الخطوات الآتية:

- أ. توليد جدول المفاتيح المرحلية حيث لم نغير في طريقة Rijndael لبناء جدول المفاتيح الملحقة والتي تستخدم جدول تبديل Rijndael الأصلي وقد أثبت مخترعو Rijndael أن هذه الطريقة وصلت إلى القيم الحدية في قوتها [1].
- ب. نستخدم المفاتيح المولدة (المرحلية) كبذور لمولد عشوائي (دالة مزج وحيدة الاتجاه) لتوليد شريط طوله 128 بتاً نجزئه إلى كلمات طول كل منها 8 بت.

ج. بعد كل عملية استبدال substation سنقوم بإعادة خلط لجزء من محتويات جدول التبدل بالاعتماد على القيم العشوائية المولدة في الخطوة السابقة

5.3. توصيف جدول التبدل العشوائي المقترح:

نفترض أن $w_{j,i}$ هي الكلمة التي سيتم استبدالها و $R_{j,i}$ هي الكلمة العشوائية التي تم توليدها من المفتاح المرحلي في الدورة (المرحلة) j باستخدام دالة المزج (سنتحدث عنها في الفقرة الآتية).

فتجري خطوة الاستبدال substation في التعمية على مرحلتين:
أ- عملية استبدال كما في الحالة الأصلية أي:

$$SubByte(w_{j,i}) = S(w_{j,i}) : 0 \leq i \leq 15$$

ب- عملية خلط لقيم جدول التبدل بالاعتماد على قيمة عشوائية R_i

$$Swap(SubByte(w_{j,i}), SubByte(R_{j,i}))$$

بينما خطوة الاستبدال في فك التعمية تستخدم جدول التبدل الأصلي S ومقلوب الجدول S_i وهي كما يأتي:

أ- عملية استبدال كما في الحالة الأصلية (باستخدام مقلوب جدول التبدل).

$$InvSubByte(w_{j,i}) = S_i(w_{j,i}) : 0 \leq i \leq 15$$

ب- عمليتا خلط لقيم الجدول الأصلي و جدول المقلوب

$$Swap(InvSubByte(w_{j,i}), InvSubByte(SubByte(R_{j,i})))$$

$$. Swap(SubByte(InvSubByte(w_{j,i})), SubByte(R_{j,i}))$$

5.4. الدالة المستخدمة في توليد القيم العشوائية: نستخدم دالة المزج MD5 [13]

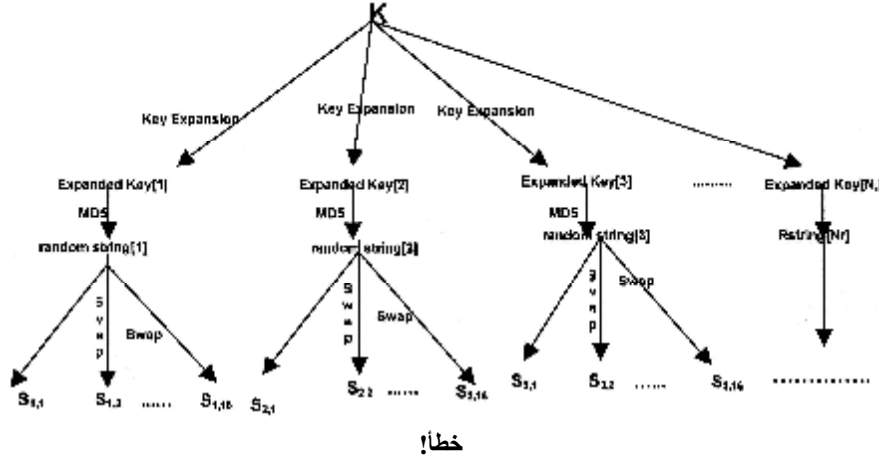
لتوليد شريط عشوائي طوله 128 بتاً لأجل كل مرحلة (دورة). حيث تكون الكلمات المؤلفة لهذا الشريط هي القيم العشوائية المستخدمة في عملية الخلط وندخل المفتاح المرحلي كبذرة لهذه الدالة.

هناك العديد من الاعتبارات التي قادتنا إلى اعتماد MD5 كمولد عشوائي:

1. التكلفة العملياتية المنخفضة لهذه الدالة مقارنة بدوال المزج الأخرى أو حتى المولدات العشوائية التي لا تعتمد على عملية المزج.
2. السرعة الكبيرة لـ MD5 وما لهذا من تأثير في رفع سرعة عملية التعمية بشكل عام.
3. نركز في تعديلنا على طول 128 بتاً لمفتاح التعمية، ومن ثم نحتاج أن يكون المولد العشوائي قابلاً للتعامل مع هذا الطول، وهذا محقق بالنسبة للدالة MD5 التي تأخذ

دخلها كشرط محرفي من أي طول ويكون مخرجها شريطاً محرفياً طوله 128 بتاً حصراً وهو ما لا يتوافر في بقية دوال المزج.

4. لا تحتاج هذه الدالة أي جداول تبديل كبيرة مما يسهل عملية توظيفها في التطبيقات. وفيما يأتي مخطط توضيحي لآلية توليد جداول التبدل التي اتبعناها.



عملية توليد جداول التبدل باستخدام قيم عشوائية مولدة من المفاتيح

تقييم تأثير جدول التبدل الجديد

إن تقييمنا هذا سيدرس تأثير جدول التبدل في مناعة الخوارزمية ضد الهجمات التقليدية حيث لا توجد حتى الآن معايير حقيقية عامة لتقييم مناعة المعينات ضد الهجمات الجبرية.

من أهم المعايير التي استخدمت لتقييم الخوارزميات المرشحة لمسابقة AES كان إجراء اختبارات لتقدير مدى مناسبة هذه الخوارزميات كمولدات أعداد عشوائية حيث استخدمت مخرجات هذه الخوارزميات كمدخل لاختبارات إحصائية تقدر حسابياً مدى عشوائية هذه المخرجات. وهذه الاختبارات هي مجموعة من 16 اختباراً اقترحتها المعهد الوطني للمعايير والتقنية NIST [3].

الاختبارات الإحصائية للمولدات العشوائية:

هي مجموعة من الاختبارات الإحصائية تجرى على مخرجات المولد العشوائي المراد اختباره. حيث تحسب قيم إحصائية معينة تختلف باختلاف هدف الاختبار الإحصائي. ولتوضيح هذا المعنى سنعرض طريقة إجراء الاختبار الإحصائي Frequency بشكل

تفصيلي ومن ثم نكمل بشكل مختصر بقية الاختبارات مع توضيح بسيط عن هدف كل منها.

1. اختبار **The Frequency (Monobit)**: كما ذكرنا سابقاً تجرى هذه الاختبارات على متتاليات محرفية من مخرجات المولد العشوائي المراد اختبار عشوائيته. ويهدف هذا الاختبار إلى تحديد هل عدد الوجدان والأصفر في المتتالية مطابق لما يمكن توقعه لأجل متتالية عشوائية حقيقية؟.

توصيف اختبار **Frequency**: يتبع هذا الاختبار التوزيع الطبيعي تجريه وفق الخطوات الآتية:

أ. تحويل الأصفر والوجدان في المتتالية إلى +1 أو -1 ومن ثم نأخذ مجموع قيم عناصر المتتالية S_n .

ب. نحسب القيمة الإحصائية $S_{obs} = \frac{|S_n|}{\sqrt{n}}$.

ج. نحسب الاحتمال $P = \text{erfc}\left(\frac{S_{obs}}{\sqrt{2}}\right)$.

د. نعد المتتالية عشوائية عندما $p > 0.01$ أي إن عتبة تحديد عشوائية المتتالية هي 0.01 (بالنسبة لاختبار **Frequency**).

ملاحظة: إن الخطوات السابقة والقيم المحسوبة تختلف من اختبار إلى آخر بسبب اختلاف التوزيعات الإحصائية من اختبار إلى آخر باختلاف طبيعة الاختبار وهدفه.

2. اختبار **Frequency Test within a Block**: هدف هذا الاختبار هو تحديد هل تكرار الوجدان في رزمة من M بت هو $M/2$ وهي النسبة المتوقعة لأجل متتالية عشوائية حقيقية؟.

3. اختبار **The Runs** هدف الاختبار هو تحديد هل عدد الـ runs للوجدان والأصفر من مختلف الأطوال هو كما يمكن توقعه لأجل متتالية عشوائية؟.

4. اختبار **for the Longest-Run-of-Ones in a Block**: هدف هذا الاختبار هو تحديد هل طول أطول run من الوجدان في المتتالية يتوافق مع ما يمكن توقعه لأجل متتالية عشوائية؟.

5. اختبار **The Binary Matrix Rank**: هدف الاختبار هو فحص التبعية الخطية بين متتاليات جزئية ذات أطوال ثابتة من المتتالية الأصلية.

6. اختبار **The Discrete Fourier Transform (Spectral)**: هدف هذا الاختبار هو تحديد النماذج المتكررة والقريبة من بعضها بعضاً في المتتالية المختبرة والتي ستحدد الانحراف عن فرضية العشوائية.

7. اختبار **The Non-overlapping Template Matching**: يركز هذا الاختبار على عدد مرات تحقق أحداث نعينها بشكل مسبق. حيث يؤخذ مجال من بتات المتتالية ليختبر إن كان يوافق الحدث المحدد مسبقاً في حال تحقق الحدث يبدأ المجال التالي من البت الذي المجال الذي تم الانتهاء من فحصه. أي لا يحدث تداخل في المجالات التي يتم فحصها.

8. اختبار **The Overlapping Template Matching**: يركز هذا الاختبار على عدد مرات تحقق أحداث نعينها بشكل مسبق. الفرق بين هذين الاختبارين هو أن هذا الاختبار يسمح بتداخل المجالات إذ يبدأ المجال التالي من البت الثاني من المجال الذي تم الانتهاء من فحصه.

9. اختبار **Maurer's "Universal Statistical"**: يهدف هذا الاختبار إلى تحديد إمكانية ضغط المتتالية دون ضياع المعلومات. وتعد المتتاليات القابلة للضغط متتاليات غير عشوائية. إذ يركز الاختبار على عدد البتات في النماذج المتشابهة في المتتالية.

10. اختبار **The Lempel-Ziv Compression**: يهدف هذا الاختبار إلى تحديد إمكانية ضغط المتتالية دون ضياع المعلومات. وتعد المتتاليات القابلة للضغط متتاليات غير عشوائية. إذ يركز هذا الاختبار على عدد النماذج المتميزة في المتتالية.

11. اختبار **The Linear Complexity**: يهدف هذا الاختبار إلى تحديد هل المتتالية المختبرة معقدة بشكل كافٍ لتعد عشوائية.

12. اختبار **The Approximate Entropy**: إن هدف هذا الاختبار هو مقارنة التكرار في الرزم المتداخلة لطولين متجاورين متعاقبين $(m, m+1)$ مقابل النتائج المتوقعة لأجل متتالية عشوائية.

13. اختبار **The Cumulative Sums (Cusums)**: هدف هذا الاختبار هو تحديد هل المجموع للمتتاليات الجزئية الحاصل في المتتالية المختبرة هو صغير جداً أو كبير جداً بالنسبة إلى التصرف المتوقع لأجل المجموع نفسه في متتالية عشوائية.

14. اختبار **The Random Excursions Variant**: هدف الاختبار هو تحديد هل عدد مرات تحقيق عدة نماذج لحدث ما ينحرف عما هو متوقع في المتتالية العشوائية.

15. اختبار **The Random Excursions**: هدف الاختبار هو تحديد هل عدد مرات تحقيق نموذج معين لحدث ما ينحرف عما هو متوقع في المتتالية العشوائية. الفرق بينه

وبين الاختبار الذي يسبقه هو تركيز الاختبار السابق على عدة نماذج معاً في حين يركز الاختبار الحالي على نموذج واحد فقط

16. اختبار **The Serial**: هدف الاختبار هو تحديد هل عدد الأحداث 2^m نموذج تداخل ذي طول m بت هو تقريباً ما يمكن توقعه لأجل توقعه في متتالية عشوائية.

توصيف البيانات Data Description

يتم اختبار مخرجات الخوارزمية وفق مجموعة الاختبارات الإحصائية السابق ذكرها بعد تجميع هذه المخرجات وفق تسعة أنواع من الصياغات المختلفة [4] وهي:

1. **Key Avalanche**: في هذا النموذج يتم توليد كتلة نصية تتألف من مجموعة نصوص معمارة تنتج من تعمية نص ثابت لكن باستخدام مجموعة مفاتيح تعمية يختلف كل واحد عن سابقه بيت واحد فقط.

2. **Plaintext Avalanche**: في هذا النموذج يتم توليد كتلة نصية تتألف من مجموعة نصوص معمارة تنتج من تعمية مجموعة نصوص يختلف كل واحد عن سابقه بيت واحد فقط وباستخدام مفتاح التعمية ذاته.

3. **Plaintext/Ciphertext Correlation**: في هذا النموذج يتم توليد نصوص معمارة من نصوص واضحة للعمل على دراسة الارتباط بين أزواج النصوص الواضحة والمعمارة.

4. **Cipher Block Chaining Mode**: في هذا النمط يتم توليد النصوص المعمارة وفق نمط السلسلة بمعنى مخرج الخطوة الأولى هو دخل الخطوة الثانية.

5. **Random Plaintext/Random 128-Bit Keys** يدرس عشوائية النص المعمى الناتج عن تعمية نص واضح عشوائي.

6. **Low Density Plaintext**: في هذا النموذج يتم توليد مجموعة نصوص معمارة باستخدام مجموعة نصوص واضحة جميع البتات فيها صفرية ماعداً بتاً واحداً يختلف موقعه من نص واضح إلى آخر، في حين يكون مفتاح التعمية ثابتاً لكل نصوص التعمية.

7. **Low Density 128-Bit Keys**: في هذا النموذج يتم توليد مجموعة نصوص معمارة باستخدام مجموعة مفاتيح تعمية جميع البتات فيها صفرية ماعداً بتاً واحداً يختلف موقعه من مفتاح إلى آخر، في حين يكون النص الواضح ثابتاً لكل نصوص التعمية.

8. **High Density Plaintext**: في هذا النموذج يتم توليد مجموعة نصوص معمارة باستخدام مجموعة نصوص واضحة جميع البتات فيها واحدية ماعداً بتاً واحداً يختلف موقعه من نص واضح إلى آخر، في حين يكون مفتاح التعمية ثابتاً لكل نصوص التعمية.

9. High Density 128-Bit Keys: في هذا النموذج يتم توليد مجموعة نصوص معماة باستخدام مجموعة مفاتيح تعمية جميع البتات فيها واحدة ماعدا بتاً واحداً يختلف موقعه من مفتاح إلى آخر، في حين يكون النص الواضح ثابتاً لكل نصوص التعمية.

لأجل كل نوع من هذه الاختبارات توجد عتبة قبول لعدد المتتاليات المرفوضة (أي المتتاليات التي لا تحقق شرط العشوائية بمعنى أنها تتجاوز عتبة القبول a).

تم اختيار العتبة 0.01 لأجل كل الاختبارات وهذا يعني نظرياً أن عدد المتتاليات المرفوضة يجب ألا يتجاوز الواحد لأجل كل 100 متتالية. لكن واقعياً فإن مجموعة البيانات data set المختبرة ستتحرف نتائجها عن القيمة النظرية المذكورة لذلك سنلجأ إلى طريقة تقييم أكثر واقعية نعتمد على مجال ثقة يحدد نسبة المتتاليات التي يجب أن تتجاوز العتبة $a = 0.01$. ويحسب الحد الأقصى لعدد المتتاليات المرفوضة باستخدام الصيغة الآتية:

$$s \left(a + 3 \sqrt{\frac{a(1-a)}{s}} \right)$$

حيث: s هي حجم مجموعة البيانات و a هي عتبة قبول المتتالية.

وفيما يأتي جدول لهذه المجالات حسب أحجام مجموعات البيانات المختبرة:

| عدد المتتاليات | عتبة قبول المتتالية | عتبة قبول مجموعة البيانات |
|----------------|---------------------|---------------------------|
| 128 | $\alpha = 0.01$ | $\alpha = 0.01$ with CI |
| 300 | 1.28 | 4.657 |
| 384 | 3.00 | 8.170 |

استراتيجيات الاختبار:

هناك نوعان من استراتيجيات الاختبار:

1- اختبار الدورة التامة **FRT**: يتم تنظيم المخرجات النهائية للخوارزمية المختبرة وفق الأنماط التسعة السابقة ثم جعلها دخلاً للاختبارات الإحصائية الستة عشر.

2- اختبار الدورات الجزئية **PRT**: يتم تنظيم المخرجات المرئية (بعد كل دورة جزئية) للخوارزمية المختبرة وفق الأنماط التسعة السابقة ثم جعلها دخلاً للاختبارات الإحصائية الستة عشر.

نتائج الاختبارات:

فيما يأتي نتائج الاختبارات الإحصائية على البيانات المولدة وفق 6 طرائق فقط من الطرائق التي سبق ذكرها على أن نستكمل بناء مكثبات بقية الاختبارات لاحقاً.

بفرض:

S: هو عدد المنتاليات التي تجاوزت الاختبار.

F: هو عدد المنتاليات التي لم تتجاوز الاختبار.

C: النتيجة النهائية.

10. الاختبارات التي سنجرها هي وفق 6 أنواع من توصيف البيانات وهي

1. Key Avalanche
2. Plaintext Avalanche
3. Low Density Plaintext
4. Low Density 128-Bit Keys
5. High Density Plaintext
6. High Density 128-Bit Keys

مع ملاحظة أننا سنجري الاختبارات فقط لأجل طول 128 بتاً لكل من النص البسيط ومفتاح التعمية. والاختبارات تتم وفق استراتيجية الدورة التامة FRT.

الاختبارات الإحصائية على البيانات المولدة وفق صياغة Low Density 128-Bit Keys

| اختبار خوارزمية Rijndael بعد التعديل | | | اختبار خوارزمية Rijndael قبل التعديل | | | الاختبار الإحصائي: عدد المنتاليات المختبرة في هذا النمط هو 128 منتالية طول كل منتالية 1056896 بت والحد الأدنى المقبول الذي يحدد نجاح الخوارزمية هو أن يكون عدد المنتاليات الفاشلة أصغر أو يساوي 4 منتاليات |
|--------------------------------------|----|-----|--------------------------------------|------|-----|--|
| النتيجة | F | S | النتيجة | F | S | |
| ناجح | 0 | 128 | ناجح | 1 | 127 | اختبار Frequency (Monobit) |
| ناجح | 2 | 126 | ناجح | 2 | 126 | اختبار Frequency Test within a Block |
| ناجح | 0 | 128 | ناجح | 1 | 127 | اختبار Runs |
| ناجح | 1 | 127 | ناجح | 3 | 125 | اختبار Longest-Run-of-Ones in a Block |
| ناجح | 0 | 128 | ناجح | 0 | 128 | اختبار Binary Matrix Rank |
| ناجح | 3 | 125 | ناجح | 0 | 128 | اختبار Discrete Fourier Transform (Spectral) |
| ناجح | 1 | 127 | ناجح | 1 | 127 | اختبار Non-overlapping Template Matching |
| ناجح | 1 | 127 | ناجح | 0 | 128 | اختبار Overlapping Template Matching |
| ناجح | 3 | 125 | ناجح | 0 | 128 | ناجح اختبار Maurer's "Universal Statistical" |
| ---- | -- | | ----- | ---- | --- | اختبار Lempel-Ziv Compression |
| ناجح | 0 | 128 | ناجح | 0 | 128 | اختبار Linear Complexity |
| ناجح | 0 | 128 | ناجح | 0 | 128 | اختبار Approximate Entropy |
| ناجح | 0 | 128 | ناجح | 2 | 126 | اختبار Cumulative Sums (Cusums) |
| ناجح | 1 | 127 | ناجح | 1 | 127 | اختبار Random Excursions Variant |
| ناجح | 0 | 128 | ناجح | 1 | 127 | اختبار Random Excursions |
| ناجح | 3 | 125 | ناجح | 4 | 124 | اختبار Serial |

النتيجة: نلاحظ تجاوز المعمي لكل الاختبارات بنجاح إذ لم تتجاوز عدد المنتاليات الفاشلة الأربع لأجل كل الاختبارات الإحصائية.

الاختبارات الإحصائية على البيانات المولدة وفق صياغة Low Density Plaintext:

| اختبار خوارزمية Rijndael بعد التعديل | | | اختبار خوارزمية Rijndael قبل التعديل | | | الاختبار الإحصائي: عدد المتتاليات المختبرة في هذا النمط هو 128 متتالية طول كل متتالية 1056896 بت والحد الأدنى المقبول الذي يحدد نجاح الخوارزمية هو أن يكون عدد المتتاليات الفاشلة أصغر أو يساوي 4 متتاليات |
|--------------------------------------|-----|-----|--------------------------------------|----|-----|--|
| النتيجة | F | S | النتيجة | F | S | |
| ناجح | 2 | 126 | ناجح | 2 | 126 | اختبار Frequency (Monobit) |
| ناجح | 1 | 127 | ناجح | 2 | 126 | اختبار Frequency Test within a Block |
| ناجح | 1 | 127 | ناجح | 0 | 128 | اختبار Runs |
| ناجح | 3 | 125 | ناجح | 0 | 128 | اختبار Longest-Run-of-Ones in a Block |
| ناجح | 2 | 126 | ناجح | 0 | 128 | اختبار Binary Matrix Rank |
| ناجح | 0 | 128 | ناجح | 1 | 127 | اختبار Discrete Fourier Transform (Spectral) |
| ناجح | 2 | 126 | ناجح | 2 | 126 | اختبار Non-overlapping Template Matching |
| ناجح | 2 | 126 | ناجح | 2 | 126 | اختبار Overlapping Template Matching |
| ناجح | 0 | 128 | ناجح | 1 | 127 | اختبار Maurer's "Universal Statistical" |
| --- | --- | --- | --- | -- | -- | اختبار Lempel-Ziv Compression |
| ناجح | 0 | 128 | ناجح | 0 | 128 | اختبار Linear Complexity |
| ناجح | 3 | 125 | ناجح | 1 | 127 | اختبار Approximate Entropy |
| ناجح | 1 | 127 | ناجح | 1 | 127 | اختبار Random Excursions |
| ناجح | 0 | 128 | ناجح | 4 | 124 | اختبار Serial |
| ناجح | 2 | 126 | ناجح | 4 | 124 | اختبار Cumulative Sums (Cusums) |
| ناجح | 0 | 128 | ناجح | 0 | 128 | اختبار Random Excursions Variant |

النتيجة: نلاحظ تجاوز المعمي لكل الاختبارات بنجاح إذ لم تتجاوز عدد المتتاليات الفاشلة الأربع لأجل كل الاختبارات الإحصائية.

الاختبارات الإحصائية على البيانات المولدة وفق صياغة High Density 128-Bit Keys:

| اختبار خوارزمية Rijndael بعد التعديل | | | اختبار خوارزمية Rijndael قبل التعديل | | | الاختبار الإحصائي: عدد المتتاليات المختبرة في هذا النمط هو 128 متتالية طول كل متتالية 1056896 بت والحد الأدنى المقبول الذي يحدد نجاح الخوارزمية هو أن يكون عدد المتتاليات الفاشلة أصغر أو يساوي 4 متتاليات. |
|--------------------------------------|-----|-----|--------------------------------------|----|-----|---|
| النتيجة | F | S | النتيجة | F | S | |
| ناجح | 1 | 127 | ناجح | 3 | 125 | اختبار Frequency (Monobit) |
| ناجح | 1 | 127 | ناجح | 0 | 128 | اختبار Frequency Test within a Block |
| ناجح | 0 | 128 | ناجح | 1 | 127 | اختبار Runs |
| ناجح | 0 | 128 | ناجح | 0 | 128 | اختبار Longest-Run-of-Ones in a Block |
| ناجح | 1 | 127 | ناجح | 0 | 128 | اختبار Binary Matrix Rank |
| ناجح | 0 | 128 | ناجح | 1 | 127 | اختبار Discrete Fourier Transform (Spectral) |
| ناجح | 0 | 128 | ناجح | 0 | 128 | اختبار Non-overlapping Template Matching |
| ناجح | 2 | 126 | ناجح | 0 | 128 | اختبار Overlapping Template Matching |
| ناجح | 3 | 125 | ناجح | 1 | 127 | ناجح اختبار Maurer's "Universal Statistical" |
| --- | --- | --- | --- | -- | --- | اختبار Lempel-Ziv Compression |
| ناجح | 1 | 127 | ناجح | 2 | 126 | اختبار Linear Complexity |
| ناجح | 1 | 127 | ناجح | 0 | 128 | اختبار Approximate Entropy |
| ناجح | 1 | 127 | فاشل | 5 | 123 | اختبار Cumulative Sums (Cusums) |
| ناجح | 0 | 128 | ناجح | 0 | 128 | اختبار Random Excursions Variant |
| ناجح | 1 | 127 | ناجح | 0 | 128 | اختبار Serial |
| ناجح | 1 | 127 | ناجح | 0 | 128 | اختبار Random Excursions |

النتيجة: نلاحظ تجاوز المعمي لكل الاختبارات بنجاح إذ لم تتجاوز عدد المتتاليات الفاشلة الأربع لأجل كل الاختبارات الإحصائية في حين فشلت الخوارزمية الأصلية في تجاوز اختبار Cusums.

الاختبارات الإحصائية على البيانات المولدة وفق صياغة High Density Plaintext

| الاختبار الإحصائي: عدد المتتاليات المختبرة في هذا النمط هو 128 متتالية طول كل متتالية 1056896 بت والحد الأدنى المقبول الذي يحدد نجاح الخوارزمية هو أن يكون عدد المتتاليات الفاشلة أصغر أو يساوي 4 متتاليات. | | | الاختبار الإحصائي: عدد المتتاليات المختبرة في هذا النمط هو 384 متتالية طول كل متتالية 1048576 بت والحد الأدنى المقبول الذي يحدد نجاح الخوارزمية هو أن يكون عدد المتتاليات الفاشلة أصغر أو يساوي 9 متتاليات. | | |
|---|--------------------------------------|--------------------------------------|---|--------------------------------------|--------------------------------------|
| الاختبار الإحصائي | الاختبار الإحصائي | الاختبار الإحصائي | الاختبار الإحصائي | الاختبار الإحصائي | الاختبار الإحصائي |
| اختبار خوارزمية Rijndael بعد التعديل | اختبار خوارزمية Rijndael قبل التعديل | اختبار خوارزمية Rijndael بعد التعديل | اختبار خوارزمية Rijndael قبل التعديل | اختبار خوارزمية Rijndael بعد التعديل | اختبار خوارزمية Rijndael قبل التعديل |
| النتيجة | F | S | النتيجة | F | S |
| ناجح | 2 | 126 | ناجح | 1 | 127 |
| ناجح | 4 | 124 | ناجح | 0 | 128 |
| ناجح | 0 | 128 | ناجح | 1 | 127 |
| ناجح | 0 | 128 | ناجح | 0 | 128 |
| ناجح | 1 | 127 | ناجح | 0 | 128 |
| ناجح | 1 | 127 | ناجح | 1 | 127 |
| ناجح | 1 | 127 | ناجح | 1 | 128 |
| ناجح | 1 | 127 | ناجح | 0 | 128 |
| ناجح | 2 | 126 | ناجح | 1 | 127 |
| --- | --- | --- | --- | --- | --- |
| ناجح | 1 | 127 | ناجح | 1 | 127 |
| ناجح | 1 | 127 | ناجح | 0 | 128 |
| فاشل | 5 | 123 | ناجح | 2 | 126 |
| ناجح | 4 | 124 | ناجح | 0 | 128 |
| ناجح | 2 | 126 | ناجح | 0 | 128 |
| ناجح | 4 | 124 | ناجح | 2 | 126 |

النتيجة: نلاحظ تجاوز المعمي لكل الاختبارات بنجاح ما عدا اختبار Cusums حيث بلغت عدد المتتاليات الفاشلة $5 >$.

الاختبارات الإحصائية على البيانات المولدة وفق صياغة 128-Bit Key Avalanche

| الاختبار الإحصائي: عدد المتتاليات المختبرة في هذا النمط هو 384 متتالية طول كل متتالية 1048576 بت والحد الأدنى المقبول الذي يحدد نجاح الخوارزمية هو أن يكون عدد المتتاليات الفاشلة أصغر أو يساوي 9 متتاليات. | | | الاختبار الإحصائي: عدد المتتاليات المختبرة في هذا النمط هو 384 متتالية طول كل متتالية 1048576 بت والحد الأدنى المقبول الذي يحدد نجاح الخوارزمية هو أن يكون عدد المتتاليات الفاشلة أصغر أو يساوي 9 متتاليات. | | |
|---|--------------------------------------|--------------------------------------|---|--------------------------------------|--------------------------------------|
| الاختبار الإحصائي | الاختبار الإحصائي | الاختبار الإحصائي | الاختبار الإحصائي | الاختبار الإحصائي | الاختبار الإحصائي |
| اختبار خوارزمية Rijndael بعد التعديل | اختبار خوارزمية Rijndael قبل التعديل | اختبار خوارزمية Rijndael بعد التعديل | اختبار خوارزمية Rijndael قبل التعديل | اختبار خوارزمية Rijndael بعد التعديل | اختبار خوارزمية Rijndael قبل التعديل |
| النتيجة | F | S | النتيجة | F | S |
| ناجح | 4 | 380 | ناجح | 8 | 376 |
| ناجح | 6 | 378 | ناجح | 6 | 378 |
| ناجح | 5 | 378 | ناجح | 6 | 378 |
| ناجح | 2 | 382 | ناجح | 2 | 382 |
| ناجح | 2 | 382 | ناجح | 3 | 381 |
| ناجح | 1 | 383 | ناجح | 5 | 379 |
| ناجح | 1 | 383 | ناجح | 0 | 384 |

| | | | | | | |
|-------|----|-----|-------|----|------|---|
| ناجح | 5 | 379 | ناجح | 0 | 384 | اختبار Overlapping Template Matching |
| ناجح | 7 | 377 | ناجح | 2 | 382 | اختبار Maurer's "Universal Statistical" |
| ----- | -- | --- | ----- | -- | ---- | اختبار Lempel-Ziv Compression |
| ناجح | 4 | 380 | ناجح | 5 | 379 | اختبار Linear Complexity |
| ناجح | 6 | 378 | ناجح | 6 | 378 | اختبار Approximate Entropy |
| ناجح | 4 | 380 | فاشل | 13 | 371 | اختبار Cumulative Sums (Cusums) |
| ناجح | 3 | 365 | ناجح | 4 | 351 | اختبار Random Excursions Variant |
| ناجح | 1 | 375 | ناجح | 1 | 376 | اختبار Serial |
| ناجح | 2 | 365 | ناجح | 2 | 363 | اختبار Random Excursions |

النتيجة: نلاحظ تجاوز المعمي لكل الاختبارات بنجاح إذ لم تتجاوز عدد المتتاليات الفاشلة التسع لأجل كل الاختبارات الإحصائية في حين فشلت الخوارزمية الأصلية في تجاوز اختبار Cusums.

الاختبارات الإحصائية على البيانات المولدة وفق صياغة Plaintext Avalanche:

| اختبار خوارزمية Rijndael بعد التعديل | | اختبار خوارزمية Rijndael قبل التعديل | | الاختبار الإحصائي: عدد المتتاليات المختبرة في هذا النمط هو 384 متتالية طول كل متتالية 1048576 بت والحد الأدنى المقبول الذي يحدد نجاح الخوارزمية هو أن يكون عدد لمتتاليات الفاشلة أصغر أو يساوي 9 متتاليات. | | |
|--------------------------------------|----|--------------------------------------|---------|--|------|--|
| النتيجة | F | S | النتيجة | F | S | |
| ناجح | 5 | 379 | ناجح | 3 | 381 | اختبار Frequency (Monobit) |
| ناجح | 4 | 380 | ناجح | 5 | 379 | اختبار Frequency Test within a Block |
| ناجح | 5 | 379 | ناجح | 4 | 380 | اختبار Runs |
| ناجح | 5 | 379 | ناجح | 3 | 381 | اختبار Longest-Run-of-Ones in a Block |
| ناجح | 4 | 380 | ناجح | 4 | 380 | اختبار Binary Matrix Rank |
| ناجح | 3 | 381 | ناجح | 5 | 379 | اختبار Discrete Fourier Transform (Spectral) |
| ناجح | 3 | 381 | ناجح | 3 | 381 | اختبار Non-overlapping Template Matching |
| ناجح | 6 | 378 | ناجح | 6 | 378 | اختبار Overlapping Template Matching |
| ناجح | 2 | 382 | ناجح | 4 | 380 | اختبار Maurer's "Universal Statistical" |
| ناجح | | | ----- | -- | ---- | اختبار Lempel-Ziv Compression |
| ناجح | 1 | 383 | ناجح | 7 | 377 | اختبار Linear Complexity |
| ناجح | 6 | 378 | ناجح | 0 | 384 | اختبار Approximate Entropy |
| فاشل | 10 | 373 | ناجح | 7 | 377 | اختبار Cumulative Sums (Cusums) |
| ناجح | 4 | 380 | ناجح | 3 | 381 | اختبار Random Excursions Variant |
| ناجح | 6 | 378 | ناجح | 4 | 380 | اختبار Serial |
| ناجح | 4 | 380 | ناجح | 2 | 382 | اختبار Random Excursions |

النتيجة: نلاحظ تجاوز المعمي لكل الاختبارات بنجاح إذ لم تتجاوز عدد المتتاليات الفاشلة التسع لأجل كل الاختبارات الإحصائية.

مناقشة النتائج

من الواضح أن المعمي لم يفقد مناعته بالنسبة للهجمات التقليدية إن لم نقل: إنه حقق بعض التقدم في بعض الاختبارات. وأما بالنسبة لمناعته ضد الهجمات الجبرية فلم نستطع تقييم مدى زيادة هذه المناعة بدقة لعدم توافر معايير قياسية لهذا الأمر، لكن لدينا أسباب

تجعلنا نعتقد أن التعديل الذي قمنا به زاد من تعقيد الهجوم الجبري (ناقشنا هذا الأمر في الفقرة 5.1).

ربما من المفيد دراسة الأثر الدقيق لاستخدام المولد العشوائي (دالة المزج وحيدة الاتجاه) في مناعة الخوارزمية ضد الهجمات وهو أمر نعمل حالياً عليه.

كما أننا قمنا باستخدام جدول تبديل عشوائي (تخلط كامل محتوياته عشوائياً) بدل جدول التبديل الديناميكي الذي استخدمناه في هذا البحث، ونعمل حالياً على دراسة تأثير مناعة الخوارزمية ضد الهجمات التقليدية لنقارن قوة الخوارزمية في الحالات الثلاث (عندما تستخدم جدول تبديل ثابتاً، ثم جدول تبديل ديناميكياً و أخيراً جدول تبديل عشوائياً).

REFERENCES

1. Daemen, J., and Rijmen, V. (2001). "The Design of rijndael AES – The advanced encryption standard", Springer.
2. "Announcing the advanced encryption standard (AES)", Federal Information Processing Standards Publication 197, 2001
[URL:http://www.csrc.nist.gov/publications/fips/fips197/fips-197.pdf](http://www.csrc.nist.gov/publications/fips/fips197/fips-197.pdf)
3. Rukhin, A., Soto, J., Nechvatal, J., Smid, M., Barker, E., Leigh, S., Levenson, M., Vangel, M., Banks, D., Heckert, A., and Dray, J. (2001). "A statiistiical test suite for random and pseudorandom number generators for cryptographiic applicatiions",
[URL:http://www.csrc.nist.gov/publications/nistpubs/800-22/sp-800-22-051501.pdf](http://www.csrc.nist.gov/publications/nistpubs/800-22/sp-800-22-051501.pdf)
4. Soto, J. (2001). "Randomness testing of the AES candidate algorithms affiliation national institute of standards and technology"
[URL:http://www.csrc.nist.gov/encryption/aes/round1/r1-rand.pdf](http://www.csrc.nist.gov/encryption/aes/round1/r1-rand.pdf).
5. Courtois, N. T., and Pieprzyk, J. (2002). "Cryptanalysis of block ciphers with overdefined systems of equations".
[URL:http://www.citeseer.ist.psu.edu/courtois02cryptanalysis.html](http://www.citeseer.ist.psu.edu/courtois02cryptanalysis.html)
6. Courtois, N. T., Debraize, B., and Garrido, E. (2002). "on exact algebraic [non-]immunity of s-boxes based on power functions?"
[URL:http://www.citeseer.ist.psu.edu/courtois05exact.html](http://www.citeseer.ist.psu.edu/courtois05exact.html).
7. Courtois, N. T. (2003). "General principles of algebraic attacks and new design criteria or cipher components"
[URL:http://www.citeseer.ist.psu.edu/744066.html](http://www.citeseer.ist.psu.edu/744066.html)
8. Keliher, L., and Meijery, y.H. (1996). "A new substitution-permutation network cipher using key-epeudent S-Boxes"
[URL:http://www.citeseer.ist.psu.edu/keliher97new.html](http://www.citeseer.ist.psu.edu/keliher97new.html).
9. Nyber, K. (1994). "Differentially uniform mappings for cryptography"
[URL:http://www.citeseer.ist.psu.edu/canteaut97differential.htm](http://www.citeseer.ist.psu.edu/canteaut97differential.htm).
10. Merkle, R. C. (1989). "A software encryption function"
[URL:http://www.security-protocols.com/textfiles/cryptography/merkle.txt](http://www.security-protocols.com/textfiles/cryptography/merkle.txt).
11. Ritter, T. (1990). "Substitution cipher with pseudo-random shuffling: The dynamic substitution combiner"
[URL:http://www.ciphersbyritter.com/ARTS/DYNSUB2.HTM](http://www.ciphersbyritter.com/ARTS/DYNSUB2.HTM).
12. Macchetti, M. (2001). "Characteristics of key-dependent S-Boxes: the case of Twofish"
[URL:http://www.citeseer.ist.psu.edu/macchetti05characteristics.html](http://www.citeseer.ist.psu.edu/macchetti05characteristics.html).
13. Skrenta, R. (1995). "MD5-based random number generator" URL:
<http://www.pbm.com/dice/random.html>.